

Fundamental法を用いた周波数依存型3次元 LOD-FDTD法によるプラズモニック導波路解析

平野, 智之 / HIRANO, Tomoyuki

(出版者 / Publisher)

法政大学大学院理工学・工学研究科

(雑誌名 / Journal or Publication Title)

法政大学大学院紀要. 理工学・工学研究科編 / 法政大学大学院紀要. 理工学・工学研究科編

(巻 / Volume)

55

(開始ページ / Start Page)

1

(終了ページ / End Page)

2

(発行年 / Year)

2014-03-24

(URL)

<https://doi.org/10.15002/00010496>

Fundamental法を用いた周波数依存型3次元LOD-FDTD法 によるプラズモニック導波路解析

ANALYSIS OF A PLASMONIC WAVEGUIDE USING THE FREQUENCY-DEPENDENT
3-D LOD-FDTD BASED ON A FUNDAMENTAL SCHEME

平野 智之

Tomoyuki HIRANO

指導教員 柴山 純

法政大学大学院理工学研究科情報電子工学専攻修士課程

A fundamental scheme is utilized to efficiently implement the frequency-dependent three-dimensional locally one-dimensional finite-difference time-domain (3-D LOD-FDTD) method. The formulation is performed in matrix-operator-free forms in the right-hand sides of the resultant equations. A modified procedure, in which implicit and explicit equations are alternately calculated, needs to retain only 10 field arrays, while the traditional explicit FDTD requires 12. Analysis of a gap plasmonic waveguide validates the presented 3-D LOD-FDTD method.

Key Words : Fundamental scheme, locally one-dimensional (LOD) FDTD, trapezoidal recursive convolution (TRC)

1. はじめに

誘電体を金属で挟み込んだ導波路構造では、表面プラズモンポラリトン (SPP) をサブミクロン領域に閉じ込めて伝搬させることが可能である。導波路を周期的に変調しブラッググレーティングを構成すれば、微小なフィルタ素子や共振器として働く。筆者らは有限差分時間領域 (FDTD) 法を用いてプラズモン導波路グレーティング (PWG) を解析し、諸特性を明らかにしてきた [1],[2]。

PWG の解析にはしばしば周波数依存型の FDTD[3] が用いられる。注意すべきは、SPP は金属と誘電体の境界付近に強く局在することである。局在する SPP を精度良く解析するには、空間の刻み幅を数 nm 程度まで小さくする必要がある。その結果、陽解法に起因する Courant-Friedrichs-Lewy (CFL) 条件により、時間刻み幅 (Δt) も極端に小さくなり、計算が長時間に及ぶ欠点がある。

そこで筆者らのグループは、CFL 条件から解放され Δt を大きく選択できる局所的 1 次元 (LOD) 法に基づく陰的 FDTD を提案した。さらに、金属の周波数分散性を考慮するため、畳込み積分の扱いが簡素で済む台形則に基づく Recursive Convolution (TRC) 法を導入した周波数依存型 LOD-FDTD を開発した [4],[5]。他方、Tan は Fundamental 法と呼ばれる、陰的 FDTD を極めて簡素に定式化する手法を提案した [6]。筆者らは、周波数依存型 2-D LOD-FDTD に、Fundamental 法を適用し (FLOD-FDTD)、簡素な定式化でありながら解析結果が従来の LOD-FDTD のものと等価であることを示した [7]。

本研究の目的は、周波数依存型 3-D LOD-FDTD[5] に Fundamental 法を適用することで簡素な手法を開発し、プラズモン導波路を効率よく解析することである。光パルスの伝搬シミュレーションを通して、本手法の有効性を示す [8],[9]。

2. 本論

TRC 法に基づく周波数依存型 3-D FLOD-FDTD の定式化を行う。Drude モデルに対する基本式を導出し整理すると、以下の式が得られる。ここでは、1st step における式のみを示す。

$$e_x^{n+\frac{1}{2}} - \frac{c\Delta t}{2\alpha} \frac{\partial h_z^{n+\frac{1}{2}}}{\partial y} = 2E_x^n + \frac{1}{\alpha} (\phi_x^n - \chi^0 E_x^n) \quad (1a)$$

$$e_y^{n+\frac{1}{2}} - \frac{c\Delta t}{2\alpha} \frac{\partial h_x^{n+\frac{1}{2}}}{\partial z} = 2E_y^n + \frac{1}{\alpha} (\phi_y^n - \chi^0 E_y^n) \quad (1b)$$

$$e_z^{n+\frac{1}{2}} - \frac{c\Delta t}{2\alpha} \frac{\partial h_y^{n+\frac{1}{2}}}{\partial x} = 2E_z^n + \frac{1}{\alpha} (\phi_z^n - \chi^0 E_z^n) \quad (1c)$$

$$h_x^{n+\frac{1}{2}} - \frac{c\Delta t}{2} \frac{\partial e_y^{n+\frac{1}{2}}}{\partial z} = 2H_x^n \quad (1d)$$

$$h_y^{n+\frac{1}{2}} - \frac{c\Delta t}{2} \frac{\partial e_z^{n+\frac{1}{2}}}{\partial x} = 2H_y^n \quad (1e)$$

$$h_z^{n+\frac{1}{2}} - \frac{c\Delta t}{2} \frac{\partial e_x^{n+\frac{1}{2}}}{\partial y} = 2H_z^n \quad (1f)$$

$$E_\xi^{n+\frac{1}{2}} = e_\xi^{n+\frac{1}{2}} - E_\xi^n \quad (1g)$$

$$H_\xi^{n+\frac{1}{2}} = h_\xi^{n+\frac{1}{2}} - H_\xi^n \quad (1h)$$

$$\phi_\xi^n = \frac{E_\xi^n + E_\xi^{n-1/2}}{2} \Delta\chi^0 + e^{-\nu_c \Delta t/2} \phi_\xi^{n-1/2} \quad (1i)$$

ここで、 $\alpha = \varepsilon_\infty + \chi^0/2$ 、 $\xi = x, y, z$ であり、 c は光速、 ε_∞ は周波数が無限大のときの比誘電率、 ν_c は衝突周波数、 $\Delta\chi^0$ と χ^0 は電気比感受率から求まる係数である。また、 E と H の振幅を揃えるため、界は正規化されている。従来手法 [5]

と比較すると、右辺に既知の界に関する微分項が含まれず、アルゴリズムが簡素で済み利点を有する。

次に、コーディングの際に使用する界の配列数について検討する。計算の詳細は省略するが、Tan が提案した方法 [6] に従うと以下の計算手順となる。はじめに (1d)-(1f) の $h_{\xi}^{n+1/2}$ を (1a)-(1c) に代入し、3 種類の $e_{\xi}^{n+1/2}$ を陰的に解く。その後 (1d)-(1h) を用いて、 $E_{\xi}^{n+1/2}$ と $H_{\xi}^{n+1/2}$ を陽的に解く。結果として界の配列数は 12 となり、これは従来の周波数依存型 LOD-FDTD [5] や、陽的な FDTD 法の配列数と同数である。

ここで、 $e_{\xi}^{n+1/2}$ の配列数を削減するために、上述した計算手順を改良する。はじめに、(1f) を (1a) に代入し、 $e_x^{n+1/2}$ を陰的に得る。その後 (1g) から $E_x^{n+1/2}$ を、(1f) と共に (1h) から $H_z^{n+1/2}$ を陽的に得る。さらに、(1g) を利用し $e_x^{n+1/2}$ を次ステップにおける (1i) に直接代入することで、 $\phi_x^{n+1/2}$ を得る。このため $e_x^{n+1/2}$ の計算に利用した配列は解放され、次の (1b)、(1d) の陰的計算における $e_y^{n+1/2}$ の配列に再利用できる。 $e_y^{n+1/2}$ を陰的に得た後、 $E_y^{n+1/2}$ 、 $H_x^{n+1/2}$ および $\phi_y^{n+1/2}$ を陽的に得る。残りの成分についても同様に計算する。Tan の方法に従った計算手順と比較すると、陰的、陽的な計算を交互に行うことで $e_{\xi}^{n+1/2}$ に関する配列が 1 つで済み、配列を 2 つ削減できることがわかる。結果として界の配列数の合計は 10 となる。

本手法の有効性を議論するため、図 1 に示すプラズモン導波路を解析する。各構造値は文献 [5] で扱ったプラズモン導波路と同一である。なお、陽的 FDTD で取り得る最大の時間刻み幅を Δt_{CFL} とし、 $\Delta t/\Delta t_{CFL}$ を CFLN と定義する。

図 2 に、パルス波を $2 \mu\text{m}$ 伝搬させた際の、導波路の中心軸上における E_x 成分の時間応答を示す。ここで、黒線は FLOD-FDTD の、赤の破線は従来の LOD-FDTD の結果を表しており、CFLN = 10 である。図より、FLOD-FDTD の結果は従来手法の結果と完全に重なっており、両手法が等価であることが確認できる。

最後に、Core™ i7-2600k プロセッサ (3.40GHz) を搭載した PC を用いた際の計算時間、メモリ使用量を図 3 に示す。図より、CFLN = 10 において、周波数依存型 FLOD-FDTD の結果は従来手法と比較して、計算時間は 30% 短縮、メモリは 10% 削減できた。なお、同様の計算を陽的 FDTD で行うと FLOD-FDTD の約 3.4 倍の時間がかかる。

3. 結び

TRC 法に基づく周波数依存型 3-D FLOD-FDTD を開発し、プラズモン導波路を解析した。陰的、陽的な計算を交互に行うことで、コーディングの際に用いる配列数が 2 つ削減できることを示した。簡素な計算式にも拘らず、従来手法と等価な結果が得られた。また、計算時間の短縮、メモリの削減が可能であることを示した。

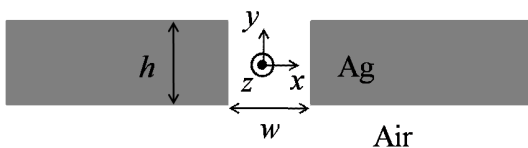


図 1 プラズモンギャップ導波路

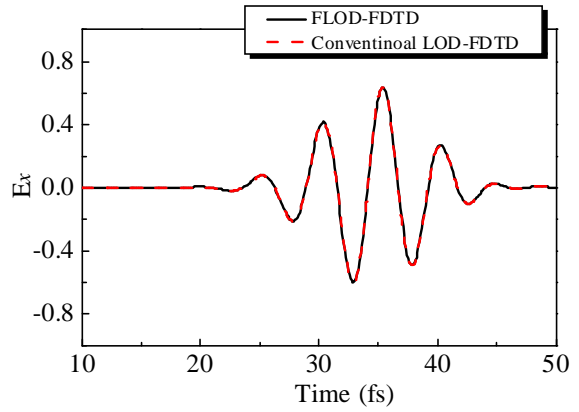


図 2 時間応答

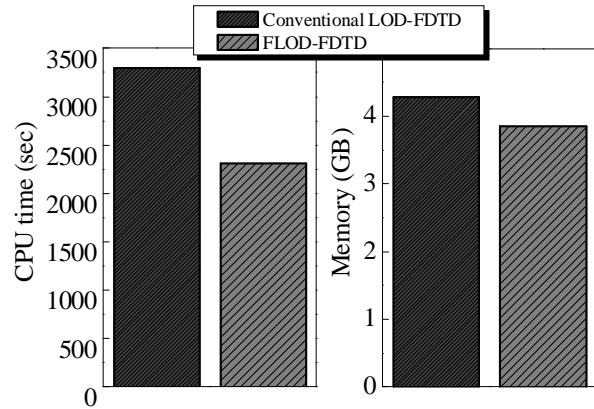


図 3 計算時間およびメモリ使用量

参考文献

- 1) 柴山 純, 平野 智之, 若林 佑, 山内 潤治, 中野 久松, 信学総大, C-3-82, 2013.
- 2) 平野 智之, 柴山 純, 山内 潤治, 中野 久松, 信学ソ大, C-3-70, 2013.
- 3) 宇野 亨, FDTD 法による電磁界およびアンテナ解析, コロナ社, 1998.
- 4) J. Shibayama, R. Ando, A. Nomura, J. Yamauchi and H. Nakano, *IEEE Photon. Technol. Lett.*, vol. 21, no. 2, pp. 100-102, 2009.
- 5) J. Shibayama, R. Ando, J. Yamauchi and H. Nakano, *IEEE Photon. Technol. Lett.*, vol. 23, no. 15, pp. 1070-1072, 2011.
- 6) E. L. Tan, *IEEE Trans. Antennas Propagat.*, vol. 56, no.1, pp. 170-177, 2008.
- 7) 柴山 純, 平野 智之, 山内 潤治, 中野 久松, 信学総大, C-1-7, 2012.
- 8) J. Shibayama, T. Hirano, J. Yamauchi, and H. Nakano, *Electron. Lett.*, vol. 48, no. 13, pp. 774-775, 2012.
- 9) 柴山 純, 平野 智之, 山内 潤治, 中野 久松, 信学ソ大, C-1-4, 2012.